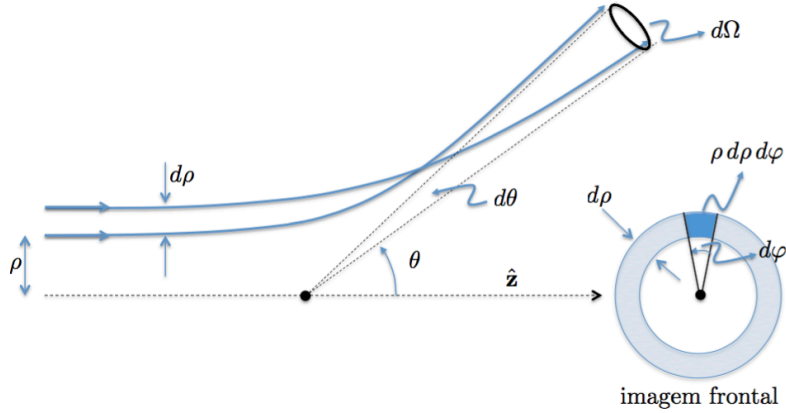


VI) Espalhamento

Como vimos no capítulo de potenciais esfericamente simétricos, os problemas de estados ligados seguem uma estratégia de solução análoga aos problemas em 1-D. Também no caso do potencial coulombiano (longo alcance) esta analogia continua presente na equação radial. Os únicos problemas que ainda não abordamos em 3-D são aqueles que envolvem estados no contínuo, ou seja, os problemas de colisões ou espalhamento. A fim de formular o problema de espalhamento vamos, inicialmente, relembrar (ou definir) alguns conceitos clássicos que serão úteis mais tarde.

- Seção de choque: diferencial e total



Imaginemos que um feixe clássico de partículas que incidem dentro de uma certa área $\rho d\rho d\varphi$ seja espalhado dentro de um ângulo sólido $d\Omega = \sin\theta d\theta d\varphi = |d(\cos\theta)| d\varphi$. O número de partículas incidentes por unidade de área por unidade de tempo é dado por $\mathbf{J} \cdot \hat{\mathbf{s}}$ onde \mathbf{J} é a densidade de corrente e $\hat{\mathbf{s}}$ o unitário da área considerada. Assim o número de partículas a serem espalhadas dentro de $d\Omega$ por unidade de tempo é

$$dn = J \rho d\varphi d\rho.$$

Conhecendo $\rho = \rho(\theta)$ temos ainda

$$\begin{aligned} dn &= J \rho d\varphi \left| \frac{d\rho}{d(\cos\theta)} \right| |d(\cos\theta)| \\ &= J \rho \left| \frac{d\rho}{d(\cos\theta)} \right| d\Omega \\ &= \frac{J \rho}{\sin\theta} \left| \frac{d\rho}{d\theta} \right| d\Omega. \end{aligned}$$

Então o número de partículas espalhadas em $d\Omega$ por unidade de tempo é proporcional ao fluxo incidente J com constante de proporcionalidade

$$d\Omega \frac{\rho}{\sin\theta} \left| \frac{d\rho}{d\theta} \right|,$$

ou ainda

$$\frac{dn}{J} = \frac{\rho}{\sin\theta} \left| \frac{d\rho}{d\theta} \right| d\Omega \equiv \frac{d\sigma}{d\Omega} d\Omega.$$

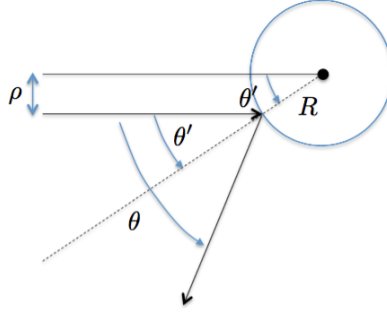
A combinação $\frac{\rho}{\sin\theta} \left| \frac{d\rho}{d\theta} \right|$ é ainda denotada $\sigma(\theta)$ que é a chamada *seção de choque diferencial*.

Esta grandeza tem dimensões de área e é tal que

$$\int_{\Omega} \frac{d\sigma}{d\Omega} d\Omega = \sigma,$$

que é a *seção de choque total*.

Um exemplo trivial é do espalhamento clássico por uma esfera rígida de raio R :



$$\begin{aligned}\rho &= R \sin \theta' \\ &= R \sin \frac{\theta}{2}\end{aligned}$$

$$\begin{aligned}\frac{d\sigma}{d\Omega} &= \frac{\rho}{\sin \theta} \left| \frac{d\rho}{d\theta} \right| \\ &= \frac{R^2 \sin \frac{\theta}{2}}{2 \sin \theta} \cos \frac{\theta}{2} \\ &= \frac{R^2}{4} \\ \Rightarrow \sigma &= \int_0^{2\pi} d\varphi \int_{-1}^1 d(\cos \theta) \frac{R^2}{4} \\ &= \pi R^2\end{aligned}$$

Vemos, então, que a seção de choque total é a área máxima do centro espalhador vista pelo feixe incidente.

Estes conceitos podem ser levados diretamente para a mecânica quântica através das suas definições gerais.

Por exemplo, $d\sigma/d\Omega$ é o número de partículas espalhadas em $d\Omega$ por unidade de tempo dividido pela intensidade do feixe incidente. Consequentemente, $d\sigma/d\Omega$ pode ser calculado se conhecermos $\psi(\mathbf{r}, t)$, ou seja, as densidades de corrente, \mathbf{J}_{inc} e \mathbf{J}_{esp} , a este estado associadas. Adiante veremos como este conceito nos será útil em mecânica quântica.

VI.1) Espalhamento de um pacote de onda

Suponha que queremos resolver o problema de uma partícula descrita pela hamiltoniana

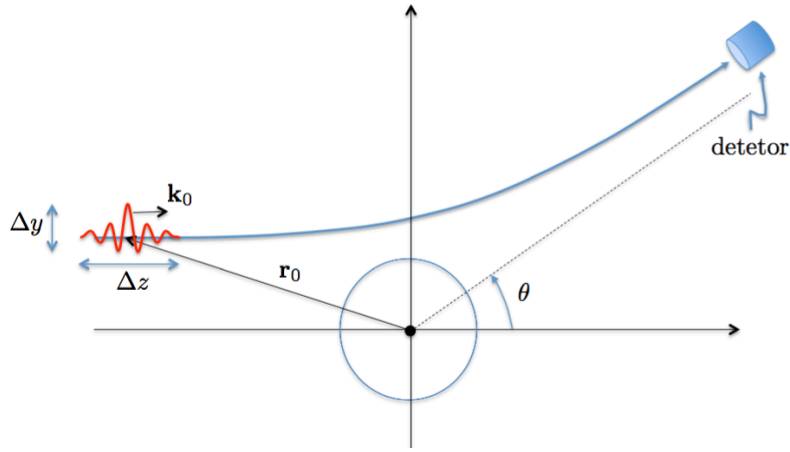
$$H = \frac{p^2}{2m} + V = H_0 + V \quad (\text{VI.1.1})$$

onde $V \neq 0$ apenas dentro de uma esfera de raio a . Convém notar que H pode estar descrevendo uma colisão de 2 corpos vista no C.M. do sistema. Neste caso m seria a massa reduzida do sistema.

Em $t = 0$ a partícula é representada por um pacote

$$\psi(\mathbf{r}, 0) = \frac{1}{(2\pi)^{3/2}} \int \varphi(\mathbf{k}) e^{i\mathbf{k}\cdot(\mathbf{r}-\mathbf{r}_0)} d^3k, \quad (\text{VI.1.2})$$

onde $|\mathbf{r}_0| \gg a$ e $\varphi(\mathbf{k})$ está centrada em \mathbf{k}_0 com largura $\Delta\mathbf{k}$. Então, $\psi(\mathbf{r}, 0)$ está centrada em \mathbf{r}_0 com largura $\Delta\mathbf{r} = \Delta x \Delta y \Delta z$.



Queremos saber a forma de $\psi(\mathbf{r}, t)$. Se expandirmos $\psi(\mathbf{r}, 0)$ em autoestados de H , $\psi_n(\mathbf{r})$, teremos

$$\psi(\mathbf{r}, 0) = \sum c_n \psi_n(\mathbf{r}), \quad (\text{VI.1.3})$$

e conseqüentemente:

$$\psi(\mathbf{r}, t) = \sum_n c_n e^{-iE_n t/\hbar} \psi_n(\mathbf{r}). \quad (\text{VI.1.4})$$

Mas, a nossa expansão inicial foi feita em ondas planas (Eq. (VI.1.2)) e não em $\psi_n(\mathbf{r})$ e, portanto, (VI.1.4) não seria diretamente aplicável pois as ondas planas não são autoestados de H . Entretanto, o problema pode ser resolvido da seguinte forma:

i) Vamos assumir (1ª hipótese) que os autoestados de H possam ser escritos como

$$\begin{aligned} \psi_{\mathbf{k}}^{(+)}(\mathbf{r}) &\sim \frac{1}{(2\pi)^{3/2}} \left(e^{i\mathbf{k}\cdot\mathbf{r}} + f_{\mathbf{k}}(\hat{\mathbf{r}}) \frac{e^{ikr}}{r} \right) \quad (r \rightarrow \infty) \\ \Rightarrow H\psi_{\mathbf{k}}^{(+)}(\mathbf{r}) &= E_{\mathbf{k}}\psi_{\mathbf{k}}^{(+)}(\mathbf{r}). \quad (\text{VI.1.5}) \end{aligned}$$

ii) Vamos ainda assumir (2ª hipótese) que $\psi(\mathbf{r}, 0)$ possa ser expandido como

$$\psi(\mathbf{r}, 0) = \int d^3k \varphi(\mathbf{k}) e^{-i\mathbf{k}\cdot\mathbf{r}_0} \psi_{\mathbf{k}}^{(+)}(\mathbf{r}), \quad (\text{VI.1.6})$$

com os mesmos coeficientes $\varphi(\mathbf{k})$ de (V.1.2), o que implica em

$$\int d^3k \varphi(\mathbf{k}) e^{-i\mathbf{k}\cdot\mathbf{r}_0} f_{\mathbf{k}}(\hat{\mathbf{r}}) \frac{e^{ikr}}{r} \sim 0. \quad (\text{VI.1.7})$$

Desta forma devemos desenvolver a integral

$$\psi(\mathbf{r}, t) = \int d^3k \varphi(\mathbf{k}) e^{-i\mathbf{k}\cdot\mathbf{r}_0} e^{-i\omega_{\mathbf{k}} t} \psi_{\mathbf{k}}^{(+)}(\mathbf{r}), \quad (\text{VI.1.8})$$

a fim de acompanhar a evolução temporal do pacote de onda, o que será feito em seguida. Entretanto, cabe-nos enfatizar que ainda devemos demonstrar as hipóteses 1 e 2 que fizemos acima, o que faremos posteriormente.

Na integral (VI.1.8) temos

$$\begin{aligned} \hbar\omega_{\mathbf{k}} &= \frac{\hbar^2 k^2}{2m} \\ \Rightarrow \omega_{\mathbf{k}} &= \frac{\hbar}{2m} [(\mathbf{k} - \mathbf{k}_0) + \mathbf{k}_0]^2 \\ &= \frac{\hbar}{2m} [(\mathbf{k} - \mathbf{k}_0)^2 + 2\mathbf{k}_0 \cdot (\mathbf{k} - \mathbf{k}_0) + k_0^2] \\ &= \frac{\hbar}{2m} [(\mathbf{k} - \mathbf{k}_0)^2 + 2\mathbf{k}_0 \cdot \mathbf{k} - k_0^2] \\ &= \frac{\hbar(\mathbf{k} - \mathbf{k}_0)^2}{2m} - \omega_0 + \mathbf{v}_0 \cdot \mathbf{k}, \quad (\text{VI.1.9}) \end{aligned}$$

onde $\omega_0 \equiv \hbar k_0^2/2m$ e $\mathbf{v}_0 = \hbar \mathbf{k}_0/m$.

No instante da detecção, t_d , teremos a fase de ψ dada por

$$e^{-i\mathbf{k}\cdot(\mathbf{r}_0+\mathbf{v}_0 t_d)} e^{i\omega_0 t_d} e^{i\frac{(\mathbf{k}-\mathbf{k}_0)^2}{2m} t_d}.$$

Mas, se os detetores estiverem a uma distância da ordem de r_0 do centro espalhador, t_d deve ser da ordem de $2mr_0/\hbar k_0$ e

$$e^{i\hbar(\mathbf{k}-\mathbf{k}_0)^2 t_d/2m} \approx e^{i(\Delta k)^2 r_0/k_0} \approx 1,$$

onde usamos que o pacote não irá se alargar apreciavelmente neste intervalo e, conseqüentemente, $(\Delta k)^2 r_0/k_0 \ll 1$.

Assim podemos escrever $\psi(\mathbf{r}, t)$ como

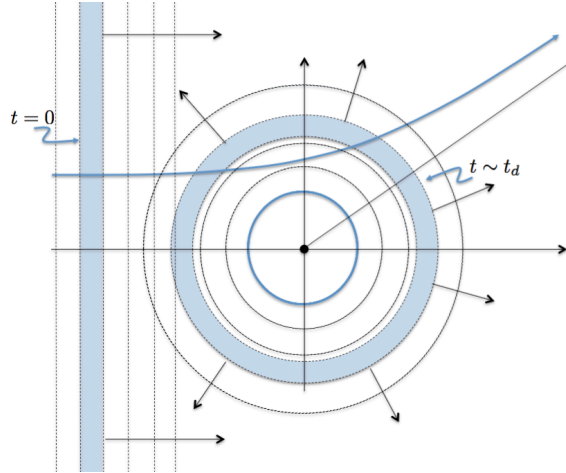
$$\psi(\mathbf{r}, t) = \int \varphi(\mathbf{k}) e^{-i\mathbf{k}\cdot(\mathbf{r}_0+\mathbf{v}_0 t)} e^{i\omega_0 t} \frac{1}{(2\pi)^{3/2}} \left(e^{i\mathbf{k}\cdot\mathbf{r}} + f_{\mathbf{k}}(\hat{\mathbf{r}}) \frac{e^{ikr}}{r} \right) d^3k. \quad (\text{VI.1.10})$$

Assumindo que f seja uma função suave de \mathbf{k} e $\varphi(\mathbf{k}) \neq 0$ se $\hat{\mathbf{k}} \cong \hat{\mathbf{k}}_0$ ($\Rightarrow kr = \mathbf{k} \cdot \hat{\mathbf{k}}r \cong \mathbf{k} \cdot \hat{\mathbf{k}}_0 r$) podemos reescrever $\psi(\mathbf{r}, t)$ em (VI.1.10) como

$$\psi(\mathbf{r}, t) = \psi(\mathbf{r} - \mathbf{v}_0 t, 0) e^{i\omega_0 t} + \frac{f_{\mathbf{k}_0}(\hat{\mathbf{r}})}{r} \psi(r\hat{\mathbf{k}}_0 - \mathbf{v}_0 t, 0) e^{i\omega_0 t}, \quad (\text{VI.1.11})$$

que representa o pacote inicial transladado de $\mathbf{v}_0 t$ somado a uma onda esférica cuja amplitude depende da distância ao centro espalhador e da direção de espalhamento. A função $f_{\mathbf{k}_0}(\hat{\mathbf{r}})$ é a chamada *amplitude de espalhamento*.

Note que (VI.1.11) só faz sentido para tempos muito longos $\sim t_d$. O seu 1º termo tem a forma do pacote inicial e, portanto, está centrado em $\mathbf{r} - \mathbf{v}_0 t = \mathbf{r}_0$ ou $\mathbf{r} = \mathbf{r}_0 + \mathbf{v}_0 t$. Isto significa que o pacote está se movendo com velocidade constante \mathbf{v}_0 . O 2º termo de (VI.1.11) contém o mesmo pacote que deve estar centrado em $r\hat{\mathbf{k}}_0 - v_0 t\mathbf{k}_0 = \mathbf{r}_0$, ou seja, $r = \mathbf{r}_0 \cdot \hat{\mathbf{k}}_0 + v_0 t = \alpha r_0 + v_0 t$ onde $\alpha \equiv \hat{\mathbf{k}}_0 \cdot \hat{\mathbf{r}}_0 < 0$. Portanto, o pacote no 2º termo está centrado a uma distância $v_0 t - |\alpha|r_0$ da origem ($t \sim t_d$) além de estar ainda multiplicando pela amplitude de espalhamento $f_{\mathbf{k}_0}(\hat{\mathbf{r}})$.



Portanto, se há N partículas distinguíveis no feixe, cada uma representada por um pacote, podemos dizer que a razão do número de partículas detetadas em $d\Omega$ pelo número de partículas incidentes por unidade de area pode ser calculada como

$$\begin{aligned} \frac{d\sigma}{d\Omega} &= \frac{\sum_{i=1}^N v_0 \frac{|f_{\mathbf{k}_0}(\hat{\mathbf{r}})|^2}{r^2} \int_{-\infty}^{\infty} |\psi_i((r-v_0 t)\hat{\mathbf{k}}_0, 0)|^2 r^2 d\Omega dt}{\sum_{i=1}^N v_0 \int_{-\infty}^{\infty} |\psi_i((r-v_0 t)\hat{\mathbf{k}}_0, 0)|^2 dt} \\ \Rightarrow \frac{d\sigma}{d\Omega} &= |f_{\mathbf{k}_0}(\hat{\mathbf{r}})|^2. \quad (\text{VI.1.12}) \end{aligned}$$

Apesar de o numerador estar centrado em $t \approx t_d$ e o denominador em $t \approx 0$, estendemos as integrais de $-\infty$ a $+\infty$ porque, nos dois casos, a forma funcional de ψ é a mesma e, além do mais, de largura finita. A hipótese de mesma forma de ψ implica que estamos longe de ressonâncias do potencial, o que será abordado na seção seguinte.

Vamos agora justificar as hipóteses (i) e (ii) que fizemos anteriormente.

i) Justificativa para a forma $\psi_{\mathbf{k}}^{(+)}(\mathbf{r})$.
Queremos resolver

$$-\frac{\hbar^2}{2m}\nabla^2\psi + V\psi = E\psi,$$

ou

$$\nabla^2\psi + k^2\psi = U\psi,$$

onde

$$k^2 = \frac{2mE}{\hbar^2}$$

e

$$U = \frac{2mV}{\hbar^2}.$$

Assim,

$$\begin{aligned} (\nabla^2 + k^2)\psi &= U(\mathbf{r})\psi(\mathbf{r}) \\ &= \int U(\mathbf{r}')\delta(\mathbf{r}-\mathbf{r}')\psi(\mathbf{r}')d^3r'. \end{aligned} \quad (\text{VI.1.13})$$

Portanto se soubermos a solução de $(\nabla^2 + k^2)\psi = \delta(\mathbf{r}-\mathbf{r}')$ podemos encontrar a de $(\nabla^2 + k^2)\psi = U\psi$ por superposição das respostas a cada excitação deltoforme.

Então podemos escrever

$$\psi_{\mathbf{k}}(\mathbf{r}) = \frac{e^{i\mathbf{k}\cdot\mathbf{r}}}{(2\pi)^{3/2}} - \frac{1}{4\pi} \int G(\mathbf{r},\mathbf{r}')U(\mathbf{r}')\psi_{\mathbf{k}}(\mathbf{r}')d^3r', \quad (\text{VI.1.14})$$

onde

$$(\nabla^2 + k^2)G(\mathbf{r},\mathbf{r}') = -4\pi\delta(\mathbf{r}-\mathbf{r}').$$

Seja

$$G(\mathbf{r},\mathbf{r}') = G(\mathbf{r}-\mathbf{r}') = \int g(\mathbf{k}')e^{i\mathbf{k}'\cdot(\mathbf{r}-\mathbf{r}')}d^3k'.$$

Atuando com ∇^2 nesta expressão temos

$$\nabla^2 G = \int g(\mathbf{k}')(-k'^2)e^{i\mathbf{k}'\cdot(\mathbf{r}-\mathbf{r}')}d^3k'.$$

Usando ainda que

$$\delta(\mathbf{r}-\mathbf{r}') = \frac{1}{(2\pi)^3} \int e^{i\mathbf{k}'\cdot(\mathbf{r}-\mathbf{r}')}d^3k'$$

podemos escrever que $(\nabla^2 + k^2)G = -4\pi\delta(\mathbf{r}-\mathbf{r}')$ é equivalente a

$$\int (k^2 - k'^2)g(\mathbf{k}')e^{i\mathbf{k}'\cdot(\mathbf{r}-\mathbf{r}')}d^3k' = \int \frac{-4\pi}{(2\pi)^3}e^{i\mathbf{k}'\cdot(\mathbf{r}-\mathbf{r}')}d^3k'$$

ou ainda

$$g(\mathbf{k}') = \frac{1}{2\pi^2} \frac{1}{k'^2 - k^2}$$

e

$$G(\mathbf{r}-\mathbf{r}') = \frac{1}{2\pi^2} \int \frac{e^{i\mathbf{k}'\cdot(\mathbf{r}-\mathbf{r}')}}{k'^2 - k^2}d^3k'. \quad (\text{VI.1.15})$$

Integrando a parte angular de (VI.1.15) chega-se a

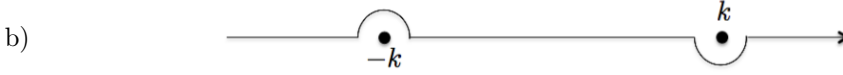
$$G(\mathbf{r} - \mathbf{r}') = -\frac{i}{\pi |\mathbf{r} - \mathbf{r}'|} \frac{d}{d(|\mathbf{r} - \mathbf{r}'|)} \int_{-\infty}^{\infty} \frac{e^{ik'|\mathbf{r} - \mathbf{r}'|}}{k'^2 - k^2} dk',$$

cuja integral ainda presente pode ser resolvida por resíduos. Como os polos são $k' = \pm k$ sobre o eixo real e $|\mathbf{r} - \mathbf{r}'| > 0$ devemos fechar o contorno pelo plano imaginário superior e algumas soluções distintas podem resultar da diferente escolha do contorno de integração. Por exemplo:



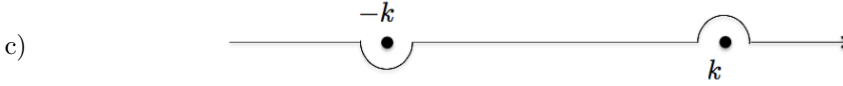
$$\Rightarrow G_I = \frac{\cos k |\mathbf{r} - \mathbf{r}'|}{|\mathbf{r} - \mathbf{r}'|}$$

que representa uma onda estacionária.



$$\Rightarrow G^{(+)} = \frac{e^{ik|\mathbf{r} - \mathbf{r}'|}}{|\mathbf{r} - \mathbf{r}'|}$$

que é a chamada solução retardada (outgoing wave).



$$\Rightarrow G^{(-)} = \frac{e^{-ik|\mathbf{r} - \mathbf{r}'|}}{|\mathbf{r} - \mathbf{r}'|}$$

que é a chamada solução avançada (incoming wave)

Assim, para $G = G^{(\pm)}$ temos

$$\psi_{\mathbf{k}}^{(\pm)}(\mathbf{r}) = \frac{1}{(2\pi)^{3/2}} e^{i\mathbf{k} \cdot \mathbf{r}} - \frac{1}{4\pi} \int \frac{e^{\pm ik|\mathbf{r} - \mathbf{r}'|}}{|\mathbf{r} - \mathbf{r}'|} U(\mathbf{r}') \psi_{\mathbf{k}}^{(\pm)}(\mathbf{r}') d^3 r'. \quad (\text{VI.1.16})$$

Mas

$$k |\mathbf{r} - \mathbf{r}'| \cong kr - k\hat{\mathbf{r}} \cdot \mathbf{r}' + \frac{k(\hat{\mathbf{r}} \times \mathbf{r}')}{2r} + \dots$$

e, portanto, assumindo que $r \gg r'$ (lembre-se que $U \approx 0$ se $r' > a$) podemos desprezar o 3º termo da soma e

$$\psi_{\mathbf{k}}^{(\pm)}(\mathbf{r}) \approx \frac{1}{(2\pi)^{3/2}} e^{i\mathbf{k} \cdot \mathbf{r}} - \frac{e^{\pm ikr}}{4\pi r} \int e^{\mp i\mathbf{k}' \cdot \mathbf{r}'} U(\mathbf{r}') \psi_{\mathbf{k}}^{(\pm)}(\mathbf{r}') d^3 r', \quad (\text{VI.1.17})$$

onde definimos $\mathbf{k}' \equiv k\hat{\mathbf{r}}$. Portanto,

$$\psi_{\mathbf{k}}^{(\pm)}(\mathbf{r}) \approx \frac{1}{(2\pi)^{3/2}} \left(e^{i\mathbf{k} \cdot \mathbf{r}} + \frac{e^{\pm ikr}}{r} f_{\mathbf{k}}^{(\pm)}(\hat{r}) \right),$$

onde

$$f_{\mathbf{k}}^{(\pm)}(\hat{\mathbf{r}}) = -\frac{(2\pi)^{3/2}}{4\pi} \int e^{\mp i\mathbf{k}' \cdot \mathbf{r}'} U(\mathbf{r}') \psi_{\mathbf{k}}^{(\pm)}(\mathbf{r}') d^3 r' \quad (\text{VI.1.18})$$

é a amplitude de espalhamento.

ii) Justificativa para o mesmo $\varphi(\mathbf{k})$.

Como vimos em (VI.1.7) esta hipótese é equivalente a

$$\int \varphi(\mathbf{k}) e^{-i\mathbf{k} \cdot \mathbf{r}_0} d^3 k \int \frac{e^{ik|\mathbf{r}-\mathbf{r}'|}}{|\mathbf{r}-\mathbf{r}'|} U(\mathbf{r}') \psi_{\mathbf{k}}^{(+)}(\mathbf{r}') d^3 r' \approx 0,$$

onde usamos a fórmula geral (VI.1.17) para $\psi_{\mathbf{k}}^{(\pm)}(\mathbf{r})$. Como para $r' > a$, $U \approx 0$, devemos nos preocupar apenas com $r' \lesssim a$. Desta forma devemos mostrar que

$$\int \varphi(\mathbf{k}) e^{-i\mathbf{k} \cdot \mathbf{r}_0 + ik|\mathbf{r}-\mathbf{r}'|} \psi_{\mathbf{k}}^{(+)}(\mathbf{r}') d^3 k \approx 0.$$

Usando que $k|\mathbf{r}-\mathbf{r}'| \approx \hat{\mathbf{k}}_0 \cdot \mathbf{k}|\mathbf{r}-\mathbf{r}'|$ e que $\psi_{\mathbf{k}}^{(+)}(\mathbf{r}') \approx \psi_{\mathbf{k}_0}^{(+)}(\mathbf{r}')$ temos

$$\psi_{\mathbf{k}_0}^{(+)}(\mathbf{r}') \int \varphi(\mathbf{k}) e^{i\mathbf{k} \cdot (\hat{\mathbf{k}}|\mathbf{r}-\mathbf{r}'| - \mathbf{r}_0)} d^3 k = \frac{1}{(2\pi)^{3/2}} \psi_{\mathbf{k}_0}^{(+)}(\mathbf{r}') \psi(\hat{\mathbf{k}}_0|\mathbf{r}-\mathbf{r}'|, 0),$$

que é nulo devido ao fato de $\hat{\mathbf{k}}_0|\mathbf{r}-\mathbf{r}'|$ ser um ponto bem atrás do centro espalhador onde ψ é, por construção, nulo em $t = 0$.

Desta forma, conseguimos justificar as duas hipóteses anteriores.

A aproximação de Born

A aplicação da função de Green ao problema de espalhamento permitiu que escrevêssemos a amplitude de espalhamento como

$$f_{\mathbf{k}}(\mathbf{k}') = -\frac{\sqrt{2\pi}}{\hbar^2} m \int e^{-i\mathbf{k}' \cdot \mathbf{r}'} V(\mathbf{r}') \psi_{\mathbf{k}}^{(+)}(\mathbf{r}') d^3 r',$$

onde $\mathbf{k}' = k\hat{\mathbf{r}}$ e $\psi_{\mathbf{k}}^{(+)}(\mathbf{r})$ obedece a (VI.1.16).

Esta equação pode ser resolvida iterativamente. Em ordem mais baixa temos

$$\begin{aligned} \psi_{\mathbf{k}}^{(+)}(\mathbf{r}) &\approx \frac{e^{i\mathbf{k} \cdot \mathbf{r}}}{(2\pi)^{3/2}} - \frac{e^{ikr}}{4\pi r} \int e^{-i\mathbf{k}' \cdot \mathbf{r}'} U(\mathbf{r}') \frac{e^{i\mathbf{k} \cdot \mathbf{r}'}}{(2\pi)^{3/2}} d^3 r' \\ \Rightarrow f_{\mathbf{k}}(\mathbf{k}') &= -\frac{m}{2\pi\hbar^2} \int e^{-i\mathbf{k}' \cdot \mathbf{r}'} V(\mathbf{r}') e^{i\mathbf{k} \cdot \mathbf{r}'} d^3 r, \quad (\text{VI.1.19}) \end{aligned}$$

que é a chamada aproximação de Born.

A fim de estimar a validade desta aproximação devemos usar a expressão exata da equação integral (VI.1.16). Ao fazermos $\psi_{\mathbf{k}}^{(+)}(\mathbf{r}) \sim e^{i\mathbf{k} \cdot \mathbf{r}}$ estamos desprezando termos da ordem de

$$-\frac{1}{4\pi} \int \frac{e^{ikr'}}{r'} U(r') \frac{e^{i\mathbf{k} \cdot \mathbf{r}'}}{(2\pi)^{3/2}} d^3 r',$$

onde fizemos $\mathbf{r} = 0$ pois $\psi^{(+)}$ aparece multiplicada por $U(\mathbf{r}) \neq 0$ se $|\mathbf{r}| \lesssim a$. Efetuando as integrais angulares devemos ter

$$\frac{2m}{k\hbar^2} \left| \int_0^\infty e^{ikr'} \sin(kr') V(r') dr' \right| \ll 1$$

\Rightarrow altas energias do feixe ou potenciais fracos.

Exemplo:

Potencial de Yukawa: Seja $V(\mathbf{r}) = V_0 e^{-\alpha r} / \alpha r$ ($a = \frac{1}{\alpha}$ é o alcance do potencial).

Na aproximação de Born temos

$$f_{\mathbf{k}}(\mathbf{k}') = -\frac{m}{2\pi\hbar^2} \int e^{i(\mathbf{k}-\mathbf{k}')\cdot\mathbf{r}'} V(\mathbf{r}') d^3r'.$$

Efetuada-se as integrais angulares tem-se

$$\begin{aligned} f_{\mathbf{k}}(\mathbf{k}') &= -\frac{2mV_0}{\alpha\hbar^2} \int_0^\infty dr' e^{-\alpha r'} \frac{\sin|\mathbf{k}-\mathbf{k}'| r'}{|\mathbf{k}-\mathbf{k}'|} \\ &= -\frac{2mV_0}{\alpha\hbar^2} \frac{1}{(\mathbf{k}-\mathbf{k}')^2 + \alpha^2}. \end{aligned}$$

Como em um espalhamento elástico $|\mathbf{k}| = |\mathbf{k}'|$ teremos

$$f_{\mathbf{k}}(\mathbf{k}') = -\frac{2mV_0}{\alpha\hbar^2} \frac{1}{4k^2 \sin^2 \frac{\theta}{2} + \alpha^2},$$

onde θ é o ângulo entre \mathbf{k} e \mathbf{k}' . No caso particular do potencial Coulombiano $V_0 \rightarrow 0$ e $\alpha \rightarrow 0$ de forma que $V_0\alpha^{-1} = q_1 q_2$ (produto das cargas de duas partículas).

Então,

$$\begin{aligned} \left. \frac{d\sigma}{d\Omega} \right|_{\text{Coulomb}} &= \frac{m^2 q_1^2 q_2^2}{4p^4 \sin^4 \frac{\theta}{2}} \\ &= \frac{q_1^2 q_2^2}{16E^2 \sin^4 \left(\frac{\theta}{2} \right)}, \end{aligned}$$

que é o resultado clássico de Rutherford que, por sua vez, também coincide com o resultado exato obtido através do espalhamento por um potencial Coulombiano.